

## **ENVIRONMENTAL SCIENCE**

ISSN 0250-3301 CODEN HCKHDV HUANJING KEXUE

2000~2018年我国大气重金属沉降通量时空变化特征 陈其永,郜允兵,倪润祥,潘瑜春,阎跃观,杨晶,刘孝阳,顾晓鹤



### ENVIRONMENTAL SCIENCE

第43卷 第9期 2022年9月15日

### 目 次

2000~2018年我国大气重金属沉降通量时空变化特征 陈其永, 郜允兵, 倪润祥, 潘瑜春, 阎跃观, 杨晶, 刘孝阳	1, 顾晓鹤(4413)
面向二/三维城市形态指标的 $PM_{2.5}$ 浓度调控模拟 ************************************	. 张鸿辉(4425)
减排背景下成都大气 PM 碳质组分特征	张军科(4438)
青岛射久泰 PM 中全属工委污迹特征及健康风险评估	
·····································	· 孙茁木(1/1/8)
港口地区大气 PM <sub>2.5</sub> 中多环芳烃污染特征及来源分析····································	., 孙天派(4440)
一一一一一一一一一一一一一一一一一一一一一一一一一一一一一一一一一一一一	······································
王鹏程,杨凌霄,别淑君,黄琦,齐安安,庹雄,王浥铭,徐鹏,张天琪	-, 土文兴(4458)
天津市冬季道路颗粒物粒径分布及来源解析	•••••
	t, 白志鹏(4467)
北京市生物源一次气溶胶数浓度变化特征及影响因素	-, 刘雨思(4475)
北京市城区夏季 VOCs 变化特征分析与来源解析 ······························ 孟祥来,孙扬,廖婷婷,张琛	. 张成影(4484)
东莞丁业集中区夏季息氧污染与非污染期间 VOCs 组分特征及其来源	•••••
	! 胜 陶俊(4497)
丹斯·乌尔曼, 英国国,小邓,代南,关沟内,斯目 一种,以中国,太阳,大河南,大河南,大河南,大河南,大河南,大河南,大河南,大河南,大河南,大河南	加,问及( <del>11</del> 77)
生们型灰块压切心夹行来的时工文化一族阻悄灰木 丁曰尼小上和山北区全位人为顿压电风处流和红山上	·,即立切(4300)
个问年"防众侧小·项至氟化石"的健康风险源胜仍对比	. 供廷(4513)
花江流域典型及新兴全氟/多氟化合物的污染特征及米源解析	, 万淑红(4522)
东完工业集中区夏李昊氧污染与非污染期间 VOCs 组分特征及具来源	、庆,刘操(4532)
喹诺酮类抗生素在城市典型水环境中的分配系数及其主要环境影响因子	•••••
	「. 広 ) か (434.5 )
石家庄地下水中喹诺酮类抗生素生态风险及其与环境因子的相关性 陈慧,剧泽佳,赵鑫宇,付雨,崔建升不同淹水环境下湖泊沉积物 DOM 的特征与来源 陈佳,李忠武,金昌盛,文佳骏,聂小晋城市沁河流域秋季浮游植物群落结构特征及其与环境因子的关系	张璐璐(4556)
不同海水环境下湖泊沉积物 DOM 的特征与来源	东 王磊(4566)
平城市水河流域砂季河流域物群拔线结构群拔在及甘与环培田子的关系	,,, <u></u> ,, (1500)
日规中代码机构似于行财但物价估和特特加及共一种境内 10人示 宣林權 太姑奶 太姑到 以具 田衣 化老座 恥而可	本計館(4576)
高梦蝶,李艳粉,李艳利,孙昂,田爽,张春晖,耿亚平不同配置绿色屋顶径流水质特征及综合评价 章孙逊,张守红,闫婧,王任重紫外活化过硫酸盐降解磷酸氯喹 李阳,许玻珲,邓微气泡臭氧化预处理实际制药废水去除 SS 和有机物性能 刘春,陈蕊,张静,杨旭,陈晓轩,郭延凯,武明	,子怀段(4570)
个问配直球巴屋坝伦流水顶特值及综合评价 ················· 草// 草// 草// 草// 草// ···· 草// ···· 草// ···· · · ·	. 远, 杨航(4587)
紫外活化过硫酸盐降解磷酸氯喹 李阳,许玻珲,邓	琳, 罗伟(4597)
微气泡臭氧化预处理实际制药废水去除 SS 和有机物性能 刘春,陈蕊,张静,杨旭,陈晓轩,郭延凯,武明	泽,庞勃(4608)
废水排放对近海环境中抗生素抗性基因和微生物群落的影响 陈嘉瑜, 苏志国, 姚鹏城, 黄备, 张永明	」, 温东辉(4616)
生物炭和秸秆还田对微咸水滴灌棉田土壤直菌群落结构多样性的影响 郭晓雯 陈静 鲁晓宇 李远 陶 —	- 凡 闵伟(4625)
有机物料投入对喀斯特地区土壤磷素赋存形态与含 phoD 基因细菌群落的影响 ····································	
1 1 1 1 1 1 1 1 1 1 1 1 1 1 1 1 1 1 1	苦以茔(4636)
煤矿矿区复垦植被类型对土壤微生物功能基因和酶活的影响 夏鑫, 乔航, 孙琪, 刘坤平, 陈香碧, 何寻阳, 胡亚军煤矿矿区复垦植被类型对土壤微生物功能基因和酶活的影响 宁岳伟, 刘勇, 张红生物炭施用对黄壤土壤养分及酶活性的影响 袁访, 李开钰, 杨慧, 邓承佳, 梁红黄河源区斑块化退化高寒草甸土壤细菌群落多样性变化	,
体现 9 区 及全租 双大望 N 工资 N 工资 N 工资 O 和 联	-, 子石则(4047) -
生物灰胞用刈填集工块充分及臀荷性的影响	., 木埋洪(4655)
寅河源区址块化退化尚寒早闽土壤细囷群洛多件性发化	
	当, 刘凯(4662)
模拟氮沉降对三江平原小叶章湿地土壤微生物碳源利用能力的影响 ············ 翁晓虹,隋心,李梦莎,刘赢男,张荣涛石家庄市土壤中喹诺酮类抗生素空间分布特征及其与微生物群落相关性 ····································	,杨立宾(4674)
石家庄市土壤中喹诺酮类抗生素空间分布特征及其与微生物群落相关性	•••••
	张璐璐(4684)
典型氧化还原环境中微塑料表面的微生物群落组成特征与构建机制	
类志伟, 马杰, 苏趋, 林亚楠, 董鑫磊, 周立昌, 王宗	平 郭刚(4607)
作物秸秆材料处理养殖废水中氮的周年去除效果及其对氮循环微生物丰度的影响	
	- BAJ (170C)
	1,天金水(4/00)
不同外碳源对尾水极限脱氮性能及微生物群落结构的影响 王伟,赵中原,张鑫,由志鹏,黄子晋	·, 彭永臻(4717)
总氮提标改造工程的微生物群落结构分析 李海松,王柯丹,陈晓蕾,阎登科,许子联	、, 胡培基(4727)
IFAS 工艺处理南方低碳源污水的泥膜微生物互作规律分析 赫俊国, 江伟勋, 何卓义, 刘新平, 吴世华, 储昭	瑞,冯杰(4736)
黄土高原土地利用方式对微塑料丰度和形态分布的影响 郝永丽,胡亚鲜,白晓雄	🗓, 郭胜利(4748)
南方丘陵区土壤重金属含量、来源及潜在生态风险评价 王玉, 辛存林, 于爽, 薛红蕾, 曾鹏, 孙平	-安. 刘凡(4756)
兰州市耕地"五毒"重金属的风险评价与归因分析 张利瑞,彭鑫波,马延龙,康乐,张妍娥,王泉灵	
石家庄市栾城区农田土壤重金属分布特征及作物风险评价	対 対木(4770)
典型城市土壤中重金属锑(Sb)的含量分布特征及风险评价	1本 工価(4701)
有色金属矿业城市典型村镇土壤重金属污染评价及来源解析	1小,上駅(4/91)
有巴亚属伊亚项印典纽约镇工场里亚属台条件仍及木砾胜例	、, 天門 ((4800)
柠檬酸及刈割强化象草修复镉污染土壤的效应	1, 廖相寒(4810)
稻田落干过程砷甲基化效率变化与关键影响因素分析 张玥,李令仪,文炯,曾希相	1, 苏世鸣(4820)
外源茉莉酸对水稻幼苗根系砷积累及抗逆应答效应 李颜,黄益宗,保琼莉,黄永春	-, 张盛楠(4831)
秸秆还田配施化肥对土壤养分及冬小麦产量的影响 ··················· 宋佳杰,徐郗阳,白金泽,于琦,程伯豪,冯永忠冬季绿肥对黄土高原旱作春玉米农田土壤温室气体排放的影响 ····································	、, 任广鑫(4839)
冬季绿肥对黄土高原旱作春玉米农田土壤温室气体排放的影响 张少宏 干份 方震	文,付鑫(4848)
庞泉沟自然保护区土壤呼吸空间分异性影响因素探测 ************************************	· · · · · · · · · · · · · · · · · · ·
小型养殖塘水体中 $CH_4$ 、 $CO_2$ 和 $N_2$ O浓度的时空变化特征及影响因素 ····································	·········
(7) 至97/14/3/14 11 11 14 1 10 12 14 17 14 17 14 17 14 17 14 17 14 17 14 17 14 17 14 17 14 17 14 17 14 17 17 18 18 18 18 18 18 18 18 18 18 18 18 18	· 刘丰左(4077)
工工工工工工工工工工工工工工工工工工工工工工工工工工工工工工工工工工工工工	., 八万尔(480/)
了	1, 字钰浑(48/8)
秸秆生物炭吸附对乙酰氨基酚的机制及其位能分布特征 商岑尧,顾若婷,张强,谢慧芳	, 土冰玉(4888)
黄土高原地区生态脆弱性时空变化及其驱动因子分析	, 周德成(4902)
植物促生菌在重金属生物修复中的作用机制及应用 马莹, 王玥, 石孝均, 陈新平	·, 李振轮(4911)
《环境科学》征订启事(4512) 《环境科学》征稿简则(4735) 信息(4696, 4790, 4887)	



# 典型氧化还原环境中微塑料表面的微生物群落组成特 征与构建机制

龚志伟<sup>1</sup>, 马杰<sup>1\*</sup>, 苏趋<sup>2</sup>, 林亚楠<sup>3</sup>, 董鑫磊<sup>1</sup>, 周立昌<sup>1</sup>, 王宗平<sup>1</sup>, 郭刚<sup>1\*</sup>

(1. 华中科技大学环境科学与工程学院, 武汉 430074; 2. 湖北省环境科学研究院, 武汉 430079; 3. 中铁第四勘察设计院集团有限公司, 武汉 430063)

摘要:微塑料广泛分布在微生物驱动的生物地球化学循环中,其表面会富集独特特征的微生物群落,构成微塑料圈(plastisphere).自然环境中广泛存在的多种氧化还原环境不仅会影响微塑料圈中微生物群落的组成,还会影响微塑料的最终归宿.为探究典型氧化还原环境中微塑料表面的微生物群落组成特征与构建机制,将3种微塑料 PHA(聚羟基脂肪酸酯)、PLA(聚乳酸)和 PVC(聚氯乙烯)放置于好氧、硝酸盐还原、铁氧化物还原、硫酸盐还原和产甲烷这5种典型氧化还原环境中,利用污泥作为接种物,进行微宇宙模拟培养实验.结果表明,在分类学和系统发育学上,微塑料因子分别影响了微塑料表面18.94%和46.67%的微生物群落,氧化还原环境因子分别影响了微塑料表面31.04%和90.00%的微生物群落.与污泥相比较,3种微塑料表面富集的微生物群落丰富度和均匀度均降低,其中降低最明显的是更易降解的PHA微塑料,而难降解的PLA和PVC微塑料表面的微生物群落变化特征相似.PHA微塑料表面富集的微生物中,Anaerocolumna(26.44%)为其优势菌种,较少富集与氧化还原反应相关的特征菌群;PLA和PVC中,Clostridium\_sensu\_stricto\_7(15.49%和11.87%)为其优势菌种,且显著富集与氧化还原反应相关的特征菌群,表明与氧化还原反应相关的特征菌群更易于富集在难降解的微塑料表面,进而可能对生物地球化学循环速率造成影响.

关键词:氧化还原环境;微塑料;微生物群落;构建机制;地球化学循环

中图分类号: X172 文献标识码: A 文章编号: 0250-3301(2022)09-4697-09 DOI: 10.13227/j. hjkx. 202111314

# Composition Characteristics and Construction Mechanism of Microbial Community on Microplastic Surface in Typical Redox Environments

GONG Zhi-wei<sup>1</sup>, MA Jie<sup>1\*</sup>, SU Qu<sup>2</sup>, LIN Ya-nan<sup>3</sup>, DONG Xin-lei<sup>1</sup>, ZHOU Li-chang<sup>1</sup>, WANG Zong-ping<sup>1</sup>, GUO Gang<sup>1\*</sup>

(1. School of Environmental Science and Engineering, Huazhong University of Science and Technology, Wuhan 430074, China; 2. Hubei Academy of Environmental Sciences, Wuhan 430079, China; 3. China Railway Siyuan Survey and Design Group Co., Ltd., Wuhan 430063, China)

Abstract: Microplastics are widely distributed in the biogeochemical cycle driven by microbes. Their surface is enriched with unique microbial communities, called plastispheres. Various redox environments that exist widely in the natural environment can affect the microbial composition in the plastisphere and the fate of the microplastics. To explore the microbial community composition and construction mechanism on the surface of microplastics in typical redox environments, three microplastics, PHA (polyhydroxyalkanoates), PLA (polylactic acid), and PVC (polyvinyl chloride), were placed in five specific redox environments: aerobic, nitrate reduction, iron oxide reduction, sulfate reduction, and methane production. The culture experiment simulated the microcosm, which was inoculum by sludge. The results showed that microplastic factors affected 18. 94% and 46. 67% of the microbial communities on the plastisphere in taxonomy and phylogeny, respectively. Redox factors affected 31. 04% and 90. 00% of the microbial communities on the plastisphere in taxonomy and phylogeny, respectively. Compared with that in sludge, the microbial community richness and diversity were reduced on the three microplastics. The most apparent reduction was found on the plastisphere of more degradable PHA. At the same time, microbial communities on the refractory PLA and PVC surfaces remained similar. Anaerocolumna (26. 44%) was the dominant genus on the surface of PHA microplastics, whereas microbes related to the redox reaction were less enriched. Clostridium\_sensu\_stricto\_7 (15. 49% and 11. 87%) was the dominant strain on PLA and PVC microplastics, and the microbes related to the redox reaction were significantly enriched. Thus, characteristic microbes involved in the redox reaction will be enriched in the surface of refractory microplastics, and microplastics may affect the rate of biogeochemical cycling.

Key words: redox environment; microplastic; microbial community; construction mechanism; biogeochemical cycling

微塑料泛指直径小于 5 mm 的塑料颗粒,是当前国际上重点关注的新型污染物之一<sup>[1,2]</sup>. 随着人类活动的影响,微塑料正在不断地进入生态环境系统中,通过沉积、优先流和生物扰动等作用,微塑料污染可深达 70~100 cm 的深层沉积物中<sup>[1]</sup>. 在这个过程中,微塑料表面会富集具有独特特征的微生物群落,包括好氧菌、厌氧菌和极端微生物等,形成塑料圈(plastisphere)<sup>[3]</sup>. 有研究表明,多种氧化还原环境在生物地球化学循环中普遍存在,如在垃圾填埋

场和潜流带中均存在好氧、硝酸盐还原、铁氧化物还原、硫酸盐还原和产甲烷等多种典型氧化还原环境<sup>[4,5]</sup>:它们通过提供不同的电子受体,进而对塑料

收稿日期: 2021-11-30; 修订日期: 2022-01-10

基金项目: 国家重点研发计划项目(2019YFC1904000); 国家自然科学基金青年科学基金项目(52100040); 湖北省自然科学基金项目(2020CFB403)

作者简介: 龚志伟(1998~),男,硕士研究生,主要研究方向为典型 氧化还原环境中微塑料降解机制探究,E-mail:2697035780@

\* 通信作者,E-mail:jiema@hust.edu.cn; ceguogang@hust.edu.cn

圈内的微生物群落组成和环境中微塑料的最终归宿产生影响<sup>[1]</sup>. 然而,目前没有研究报道以上多种典型氧化还原环境如何影响不同微塑料表面的微生物群落组成特征.

学者们发现在微塑料表面富集的微生物群落有 可能会因环境和基质的不同而形成差异,即微生物 可能因喜好特定的环境和基质而富集在微塑料表 面,但目前并未形成统一的认识[1,2]. 例如, Wright 等[6]和 Oberbeckmann 等[7]认为不存在因喜好特定 的基质而富集在微塑料表面的微生物;而周曙仡聃 等[8]、周昕原等[9]和黄福义等[10]却发现抗生素抗 性基因更容易在可溶性微塑料表面积累,进而相较 于其它基质,因抗生素抗性基因存在的特定菌群容 易富集在可溶性微塑料表面; Tagg 等[11] 也发现硫 酸盐还原菌 Desulfatitalea tepidiphilia 更容易富集在 微塑料表面. 一般而言, 微塑料表面的微生物群落构 建需要经历两种生态学过程,即确定性过程和随机 性过程[12]. 若确定性过程占比较高,则说明环境影 响较大,微生物菌群会因喜好特定环境或基质而富 集在微塑料表面,从而与其它环境和基质呈现差 异[13,14],反之则不会呈现明显差异. 然而,截至目前 没有相关研究对上述确定性过程和随机性过程的贡 献占比进行量化,导致很难判断微塑料表面富集的 微生物群落是否会因环境和基质的不同而形成 差异.

综上所述,当不同微塑料进入典型氧化还原环 境中,本文提出两种假设[15]:一方面,部分微生物喜 欢附着在微塑料表面,不同微塑料环境会导致特异 性微生物的富集:另一方面,在不同的典型氧化还 原环境中,由于微塑料被降解的代谢机制不同,微塑 料表面富集的氧化还原特征菌群会存在差异. 基于 以上两个假设,本文将3种微塑料[传统石油基微 塑料聚氯乙烯(PVC,工业活动和日常生活中使用最 广泛的塑料之一[16])和新兴生物基微塑料聚羟基脂 肪酸酯和聚乳酸(PHA 和 PLA,已大量生产并应用 于市场[17])]放置于5种典型氧化还原环境(好氧、 硝酸盐还原、铁氧化物还原、硫酸盐还原和产甲烷 环境)中,利用污泥作为接种物,进行微宇宙模拟培 养. 首先采用 16S rRNA 高通量测序技术对微塑料 表面的微生物群落进行测定,探究微塑料表面的微 生物群落组成特征; 再通过典范对应分析(CCA)、 方差分解分析(VPA)和零模型分析,从分类学角度 和系统发育学角度,共同探究确定性过程和随机性 过程各自的相对贡献占比. 本研究揭示了典型氧化 还原环境中微塑料表面的微生物群落组成特征,并 对构建机制进行了量化分析,从而有助于预测塑料 圈内微生物的生态规律及其对元素地球化学循环的影响.

#### 1 材料与方法

学

#### 1.1 供试材料

本研究选择了3种目前广泛使用的塑料,分别为PVC、PHA和PLA,均来自佛山市苏宇塑料制品有限公司.3种塑料均为直径3~4 mm的球状颗粒,因此可被认定为微塑料,供本研究使用;微塑料颗粒在使用前均用75%乙醇和紫外线进行灭菌处理.武汉三金潭污水处理厂的厌氧消化罐污泥经历了好氧到厌氧的微生物演化过程,包含了好氧、缺氧和厌氧微生物,可为5种氧化还原环境提供相应的氧化还原菌群[18,19],且同一来源的接种物有利于排除其本身微生物差异对研究结果的影响,故将其作为本研究微生物的提供者.使用无菌玻璃瓶采集污泥样品,并用橡胶塞密封,置于4℃下的环境中冷藏储存(≤1周).

#### 1.2 实验室模拟培养

不同氧化还原环境构建的具体方法和电子受体 投加量具体如下:在厌氧手套箱中,取50 mL 厌氧消 化污泥和 250 mL 除氧超纯水于 5 个 350 mL 的西林 瓶中,使5个西林瓶顶空/液-沉积物相的体积比均 为1:6; 向前4个西林瓶中依次加入氧气[注入10 mL O<sub>2</sub> 并摇匀,保证 O<sub>2</sub> 在液体和气体间的平衡; 瓶 中溶解氧(DO)含量即可从 0 增加至 6.58 mg·L<sup>-1</sup>, 与标准条件下水中饱和溶解氧浓度 8 mg·L<sup>-1</sup>相当; 氧化还原电位(ORP)可从 - 232 mV 增加至 186 mV<sup>[20]</sup>]、无氧硝酸钠溶液(定容 NO; 浓度为 1 mmol·L<sup>-1[21]</sup>)、无氧氯化铁溶液(定容 Fe<sup>3+</sup>浓度 为1 mmol·L<sup>-1[22]</sup>)和无氧硫酸钠溶液(定容 SO<sub>4</sub><sup>2-</sup>浓 度为 1 mmol·L<sup>-1[23]</sup>),使它们分别形成好氧、硝酸 盐还原、铁氧化物还原和硫酸盐还原环境. 由于所 取污泥为厌氧消化罐污泥,故第5个西林瓶已形成 了产甲烷环境. 在5种氧化还原环境形成后,向5个 西林瓶中分别加入3种微塑料样品(各6g),并用 NaOH(10 mmol·L<sup>-1</sup>)将 pH 值调至7.0,随后用橡胶 塞密封和锡箔纸包裹,放置于35℃的培养箱中培养 43 d, 5 个西林瓶依次命名为 Red1、Red2、Red3、 Red4 和 Red5(分别对应好氧、硝酸盐还原、铁氧化 物还原、硫酸盐还原和产甲烷环境). 培养过程中通 过电子受体浓度检测和含量补充,保证5种氧化还 原环境始终维持.

#### 1.3 DNA 提取和 16S rRNA 基因分析

在厌氧手套箱中,从 Red1~5中取出微塑料和污泥样品(用无菌超纯水洗涤微塑料3次以去除表

面的污泥),放置于灭菌的密封袋中,并立即保存至 -20℃的干冰中,用于 DNA 的提取. 根据试剂盒的 操作说明,使用 PowerSoil® DNA 分离试剂盒提取 DNA. 引物 338F(5-ACTCCTACGGGAGGCAGCA-3) 和 806R (5-GGACTACHVGGGTWTCTAAT-3) 进行 PCR 扩增细菌 16S rRNA 的 V3-V4 区<sup>[24]</sup>,并在中国 的上海派森诺生物科技有限公司的 Illumina MiSeq (MiSeq,Illumina,美国)平台对纯化的扩增子进行高 通量测序. 在完成质量控制后,数据在 QIIME 平台 (1.9.1 版,美国)上进行进一步处理. 使用软件 Mothur(版本1.35.1,美国)估计微生物多样性和丰 富度. 根据 Louca 等[25]的研究,首先在 QIIME(版本 1,美国)中转换物种丰度表格式为 Biom 格式,然后 在 FAPROTAX (版本 1.2,美国) 中利用 collapse \_ table. py 脚本将物种名称对比 Greengene、Silva 和 RDP 数据库,最后完成对微生物的功能注释,相关 参数均按照默认推荐值. 对注释结果按照氧气还原、 硝酸盐还原、铁氧化物还原、硫酸盐还原和发酵功 能提取相关微生物组成和丰度,与环境因子(见1.4 节)一起导入上海派森诺生物科技有限公司的在线 数据分析平台(https://www.genescloud.cn),进行 和弦图和关联热图分析[26],探究氧化还原特征菌群 与环境因子的相关性.

#### 1.4 微生物群落构建机制分析

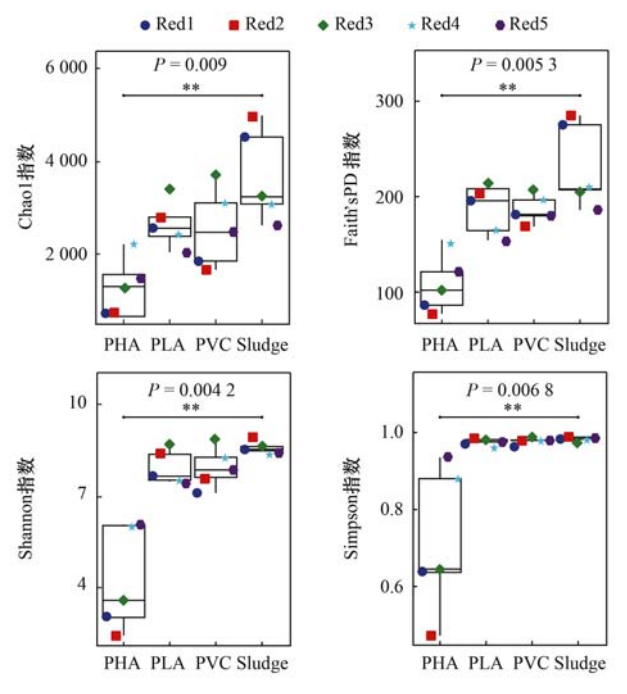
为了揭示典型氧化还原环境中微塑料表面的微 生物群落构建机制,本研究首先对氧化还原环境和 微塑料选取了不同的评价因子. 不同的电子受体浓 度「氧气浓度、硝酸盐浓度、铁离子浓度、硫酸盐浓 度和甲烷浓度(产甲烷环境没有外加电子受体,故 选取了反应结束时不同氧化还原环境中的甲烷浓度 作为评价因子)]作为不同氧化还原环境对微生物 群落影响的评价因子;微塑料种类(PHA、PLA和 PVC)作为不同微塑料对微生物群落影响的评价因 子. 为了量化不同环境(氧化还原环境和微塑料环 境)条件下两种生态学过程在微生物群落构建过程 中的贡献占比,本研究先从分类学角度,根据上述的 评价因子文件和 16S rRNA 测序生成的样本 OTU 结 果文件,在免费的数据分析 Tutools 平台上(http:// www.cloudtutu.com)进行了典范对应分析(CCA,可 用于分析不同环境因子与细菌群落构建的相关性) 和方差分解分析(VPA,被广泛用于评估确定性与随 机过程对群落构建的重要性,可用于定量环境因子 对微生物群落的确定性影响比例);再从系统发育 多样性角度,采用了随机性理论分析[计算最近物 种指数  $\beta$ NTI(  $|\beta$ NTI | <2 表示随机性过程占主导 地位,  $|\beta NTI| > 2$  表示确定性过程占主导地位) 和 基于 Bray-Curtis 距离观测值和零模型的随机性之间 差异的指数 RCbray(|RCbray|>0.95 表示观测值 与零模型预期间存在显著差异)] $^{[27,28]}$ ,于在线分析工作站(http://ieg3.rccc.ou.edu:8080/)上计算了  $\beta$ NTI 指数和 RCbray 指数 $^{[28]}$ .

#### 2 结果与讨论

**2.1** 典型氧化还原环境中微塑料表面的微生物群落组成特征

#### **2.1.1** α 多样性分析

α 多样性指数表征物种在生境内的多样性,以 综合评价其总体丰度(Chaol、Faith's PD)和均匀度 (Shannon、Simpson)<sup>[29]</sup>. 对 16S rRNA 测定结果进行 了α多样性分析,具体如图1所示. Chao1、Faith's PD、Shannon 和 Simpson 指数的 P 值分别为 0.009、 0.0053、0.0042和0.0068<0.05,因此典型氧化还 原环境中微塑料表面和污泥中的微生物群落在丰富 度和均匀度上均表现出显著差异. 前人研究一般认 为微塑料表面的微生物群落丰富度低于周围的基 质,但是均匀度会高于周围基质[30],而本研究中,微 塑料表面的微生物群落丰富度和均匀度均低于污 泥,丰富度规律与前人研究的结果一致,均匀度规律 却与前人相反. 推测是因为微塑料表面部分物质溶 出或者降解(43 d后, Red1~5中PHA质量损失均 可达50%左右),导致微塑料表面出现了特异性菌 种,从而降低了其均匀度.此外,与前人研究的结果



\*\* 表示差异性显著(P<0.01)

图 1 不同微塑料表面微生物群落的  $\alpha$  多样性分析

Fig. 1 Analysis of  $\alpha$  diversity of microbial communities on different microplastic surfaces

一致,好氧/缺氧环境下(好氧和硝酸盐还原环境)污泥中微生物群落的丰富度高于厌氧环境(铁氧化物还原、硫酸盐还原和产甲烷环境),多样性低于厌氧环境<sup>[31]</sup>.3种微塑料均不同于污泥,具体表现为:好氧/缺氧环境下 PHA 表面的微生物群落丰富度和多样性均明显低于厌氧环境,推测是因为在厌氧环境下利用 PHA 为碳源的微生物种类更多,丰富度得到提高; PLA 和 PVC 表面的微生物群落变化特征相似,丰富度和均匀度从好氧环境向铁氧化物还原环境变化时逐渐增加,从铁氧化物还原环境向产甲烷环境变化时逐渐降低,推测是因为 PLA 和 PVC 表面出现了不同于 PHA 和污泥的特异性菌种, 2.1.2节的分析结果可以证明这一推测.

#### 2.1.2 微生物群落组成分析

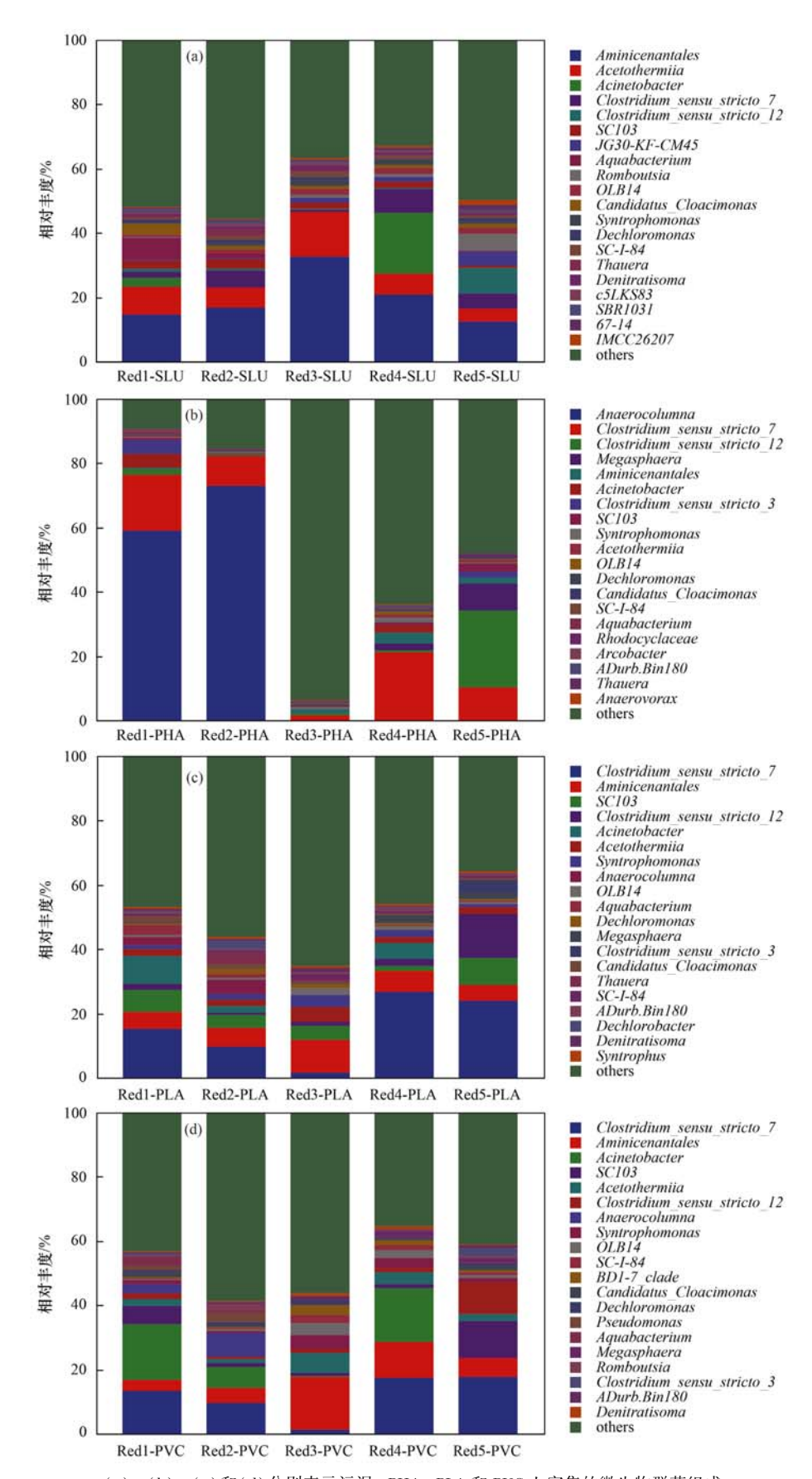
在5种典型氧化还原环境中,不同微塑料表面 和污泥中属水平上丰度最高的前20种微生物如图 2 所示. 在污泥中会富集: Aminicenantales、 Acetothermiia , Acinetobacter , Clostridium\_sensu\_stricto \_ 7 、 Clostridium \_ sensu \_ stricto \_ 12 、 SC103 、 Aquabacterium , OLB14 , Candidatus \_ Cloacimonas , Syntrophomonas、Dechloromonas 和 SC-I-84, 这 12 种 菌种也同时在3种微塑料表面富集,但丰度存在差 异; 部分特有菌种如 JG30-KF-CM45 (1.63%)、 c5LKS83 (0.73%) SBR1031 (0.69%) 67-14 (0.66%)和 IMCC26207(0.64%)在污泥中富集但 并未在微塑料表面被发现. 在 PHA 微塑料表面,除 了上述的 12 种菌种外, Anaerocolumna (26.44%) 成 为了优势菌种,这与前人研究的结果一致[1].而且 相比于厌氧环境(铁氧化物、硫酸盐和产甲烷还原 环境),其更喜好在好氧/缺氧环境下(好氧和硝酸 盐还原环境) 富集. 在 PLA 微塑料表面, Clostridium \_sensu\_stricto\_7(26.44%)为优势菌种,研究发现其 为专性厌氧菌[32],容易在严格厌氧的环境中富 集<sup>[33]</sup>; 另外,还发现了 Dechlorobacter (0.62%) 和 Syntrophus (0.60%) 的特异性富集,表明部分 PLA 微塑料衍生的碳源可被用作厌氧消化产气[34]. 在 PVC 微塑料表面,与 PLA 微塑料相同, Clostridium\_ sensu\_stricto\_7(11.87%) 为优势菌种,但 PVC 微塑 料特有菌群为 BD1-7\_clade(1.08%)和 Pseudomonas (0.83%),其中 Pseudomonas 是革兰氏阴性需氧菌, 广泛存在于各种环境中,携带多种病原体[35],需要 对其引起一定的重视.

综上所述,与前人研究的结果一致,不同微塑料表面的微生物群落会与污泥呈现差异[1,2];而且与污泥相比,PHA微塑料表面上的微生物群落变化最明显,PLA和PVC微塑料表面上的微生物群落虽有

差异,但整体变化特征相似.

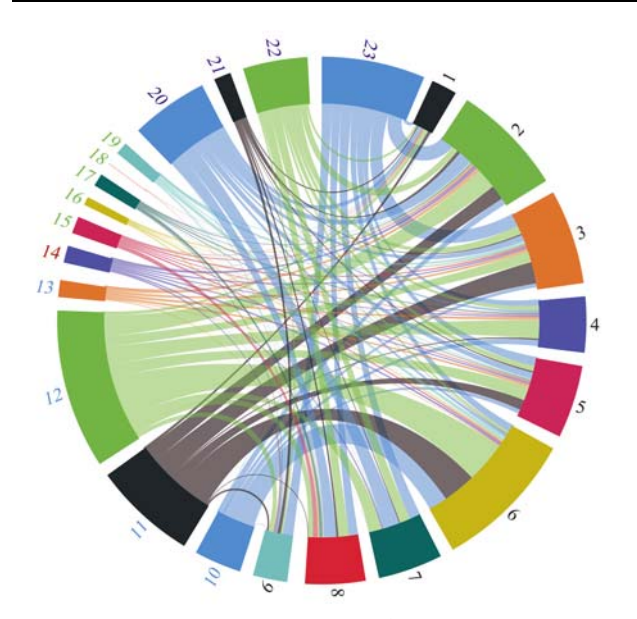
2.1.3 氧化还原特征菌群在微塑料表面的分布规律 微生物功能注释结果表明<sup>[25]</sup>, Comamonas、Pseudomonas、Thauera 和 Zoogloea 是典型的氧还原菌和硝酸盐还原菌; Geobacter 是典型的铁还原菌; Desulfomicrobium、 Desulforegula、 Desulforhabdus、Desulfosporosonus 和 Desulfobvibro 是典型的硫酸盐还原菌; Anaerovorax、Anoxybacillus、Syntrophomonas 和 Syntrophus 是典型的代谢有机物的发酵菌.

将以上参与氧化还原的特征菌群与环境因子进 行和弦图分析,结果表明(图3),不同的氧化还原菌 群已在对应的氧化还原环境中高度富集(此时,产 甲烷环境对其它氧化还原环境影响较小),具体如 下:由于在 Red1~2 中补充 O, 和 NO; 作为电子受 体, Comamonas, Pseudomonas, Thauera 和 Zoogloea 会在 Red1~2 中显著富集(在 Red1~2 中总丰度平 均值分别为 0.46%、0.87%、1.10% 和 0.07%, 而在 Red3~5中的总丰度平均值分别为0.01%、0.03%、 0.31%和0.01%); 虽然在 Red3 中补充 Fe3+作为 电子受体,但 Geobacter 并未在 Red3 中显著富集,推 测是因为 Geobacter 并非专性铁还原菌<sup>[36]</sup>,也可以利 用氧气和硝酸盐作电子受体,所以其在 Red1~3中 均较 Red4~5 中富集(Red1~3 总丰度平均值为 0.08%, Red4~5 总丰度平均值为 0.04%); 由于在 Red4 中补充 SO<sub>4</sub><sup>2</sup> 作为电子受体, Desulforegula Desulforhabdus Desulfomicrobium , Desulfosporosonus 和 Desulfobvibro 会在 Red4 中显著 富集(在 Red4 中总丰度平均值分别为 0.18%、 0.06%、0.12%、0.01%和0.05%,而在其它Red中 总丰度平均值分别为 0.03%、0.02%、0.02%、 0.0006%和0.05%);在Red5中,虽然微生物以有 机物为电子受体进行厌氧发酵,但 Anaerovorax、 Anoxybacillus、Syntrophomonas 和 Syntrophus 并没有 在 Red5 中显著富集,因为在其它 Red 中特别是 Red3~4中微生物也会代谢有机物进行厌氧发酵, 所以其在 Red3~5 中均较 Red1~2 中富集(在 Red3 ~5 中总丰度平均值分别为 0.39%、0.09%、 0.30%和0.42%, Red1~2总丰度平均值为0.19%、 0.04%、0.17%和0.34%).此外,有趣的是,相比于 污泥,无论是氧还原菌和硝酸盐还原菌,还是铁还原 菌、硫酸盐还原菌和发酵菌均更容易富集在难降解 的 PLA(PLA 虽然为生物基微塑料,但它不会在人 工堆肥条件之外发生生物降解,其解聚酶活性的最 适温度为60℃<sup>[37]</sup>)和 PVC 微塑料表面. 氧还原菌和 硝酸盐还原菌在 PLA 和 PVC 微塑料表面的丰度为 1.85%和1.59%,在污泥中的丰度为1.17%,而在



(a)、(b)、(c)和(d)分别表示污泥、PHA、PLA 和 PVC 上富集的微生物群落组成 图 2 不同微塑料表面和污泥中属水平上的群落组成

Fig. 2 Community composition at the genus level on different microplastic surfaces and sludge



1. PHA, 2. PLA, 3. PVC, 4. 污泥, 5. 氧气浓度, 6. 硝酸盐浓度, 7. 铁离子浓度, 8. 硫酸盐浓度, 9. 甲烷浓度, 10. Comamonas, 11. Pseudomonas, 12. Thauera, 13. Zoogloea, 14. Geobacter, 15. Desulfomicrobium, 16. Desulforegula, 17. Desulforhabdus, 18. Desulfosporosonus, 19. Desulfobvibro, 20. Anaerovorax, 21. Anoxybacillus, 22. Syntrophomonas, 23. Syntrophus; 其中 10~13 为氧气和硝酸盐还原菌, 14 为铁还原菌, 15~19 为硫酸盐还原菌, 20~23 为发酵菌

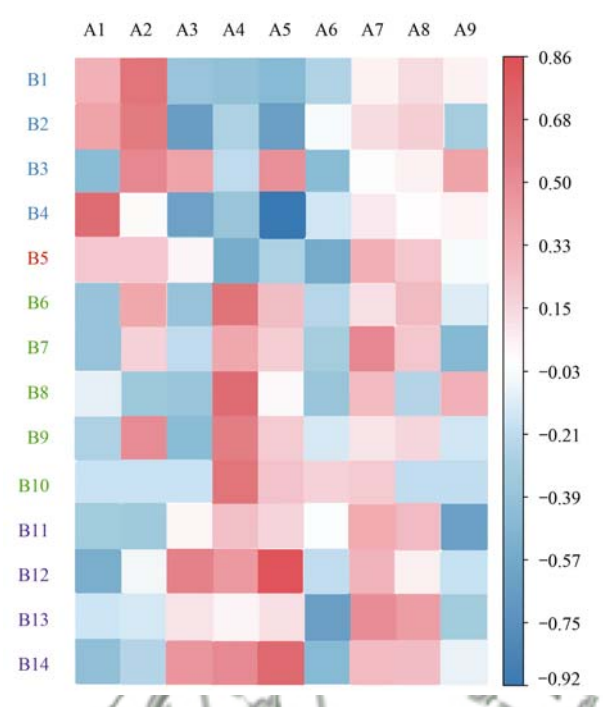
#### 图 3 微生物与环境因子和弦分析

Fig. 3 Chord analysis of microbial and environmental factors

PHA 微塑料表面的丰度为 0.34%;铁还原菌在 PLA 和 PVC 微塑料表面的丰度为 0.08% 和 0.13%,在污 泥中的丰度为 0.06%, 而在 PHA 微塑料表面的丰度 为 0.02%; 硫酸盐还原菌在 PLA 和 PVC 微塑料表 面的丰度为 0.23% 和 0.27%, 在污泥中的丰度为 0.12%, 而在 PHA 微塑料表面的丰度为 0.08%; 发 酵菌在 PLA 和 PVC 微塑料表面的丰度为 1.50% 和 1.18%,在污泥中的丰度为 0.53%,而在 PHA 微塑 料表面的丰度为 0.41%. 这与 Seeley 等[38] 发现硫酸 盐还原菌 Desulfobacteraceae、Desulfobulbaceae 和 Deltaproteobacteria 更容易富集在沉积物中 PVC 微塑 料表面的结果一致. 随后, 本研究将参与氧化还原的 特征菌群与环境因子进一步进行了关联热图分析, 结果表明(图4),不同氧化还原特征菌群与对应电 子受体呈显著的相关性,这与前人研究的结果一 致[31];此外,相比于污泥,5种氧化还原特征菌群 均与PLA和PVC微塑料呈显著的正相关关系,而与 PHA 微塑料呈显著的负相关关系.

和弦图和关联热图表明,参与氧化还原反应的特征菌群由于电子受体的改变,会显著富集到对应的氧化还原环境中;此外,5种氧化还原菌群在PLA和PVC微塑料上的丰度(3.71%和3.11%)高于污泥(1.88%)2倍左右,高于PHA微塑料

(0.84%)4倍左右.前人研究发现抗性基因在难降解微塑料表面显著富集<sup>[8,9]</sup>,可能造成潜在的环境危害,本研究发现与氧化还原反应相关的特征菌群会在难降解微塑料表面显著富集,进而可能造成生物地球化学循环速率的改变.



A1. PHA, A2. PLA, A3. PVC, A4. 污泥, A5. 氧气浓度, A6. 硝酸盐浓度, A7. 铁离子浓度, A8. 硫酸盐浓度, A9. 甲烷浓度, B1. Comamonas, B2. Pseudomonas, B3. Thauera, B4. Zoogloea, B5. Geobacter, B6. Desulfomicrobium, B7. Desulforegula, B8. Desulforhabdus, B9. Desulfosporosonus, B10. Desulfobribro, B11. Anaerovorax, B12. Anoxybacillus, B13. Syntrophomonas, B14. Syntrophus; 其中 B1~B4 为好氧和硝酸盐还原菌, B5 为铁还原菌, B6~B10 为硫酸盐还原菌, B11~B14 为发酵菌

图 4 微生物与环境因子相关性分析 Fig. 4 Correlation analysis between microorganisms

Fig. 4 Correlation analysis between microorganisms and environmental factors

# **2.2** 典型氧化还原环境中微塑料表面的微生物群落构建机制

确定性过程(如种间竞争和环境过滤)和随机性过程(如物种扩散和生态漂变)在维持生物多样性中的相对重要性一直是生态学研究的核心问题之一,定量计算它们各自在微生物群落构建过程中贡献占比的方法也有多种<sup>[2]</sup>.目前来说,大多数方法需要基于16S rRNA 的测序技术<sup>[39]</sup>,本研究也是基于16S rRNA 的测序结果,再从分类学角度和系统发育学角度,量化确定性过程和随机性过程的贡献占比.从分类学角度,对不同的环境因子和测序结果进行了 CCA 分析和 VPA 分析(VPA 分析结果中若环境变量可高比例解释群落结构变异,则可以定量该环境变量对微生物群落的确定性影响

比例;若环境变量只能以极低的比例解释群落结构变异,则该环境变量下,还是随机性过程占主导;残差表示为不能基于环境因子揭示的变异[ $^{271}$ );从系统发育多样性角度,采用了零模型的方法 $^{[27]}$ ,计算了不同环境因子的 $^{6}$ NTI指数和RCbray指数;最后从分类学和系统发育学两个角度综合评估确定性与随机过程在微生物群落构建过程中的贡献占比.

#### 2.2.1 分类学分析

CCA 分析结果表明(图 5),氧气浓度、硝酸盐浓度、铁离子浓度和硫酸盐浓度等氧化还原环境因子与第一轴 CCA1 呈显著正相关,PHA 和 PLA 等微塑料因子与第二轴 CCA2 呈显著正相关,氧化还原环境因子和微塑料因子分别从不同维度影响了微生物群落.此外,PHA 表面的微生物群落位于图 5 最上方,污泥中的微生物群落位于图 5 最下方,PLA 和PVC 表面的微生物群落位置相接近.因此,微塑料表面的微生物群落结构均与污泥出现差异,而且PLA 和 PVC 表面的微生物群落在结构上具有一定的相似性,这与 2.1 节研究的结果一致.

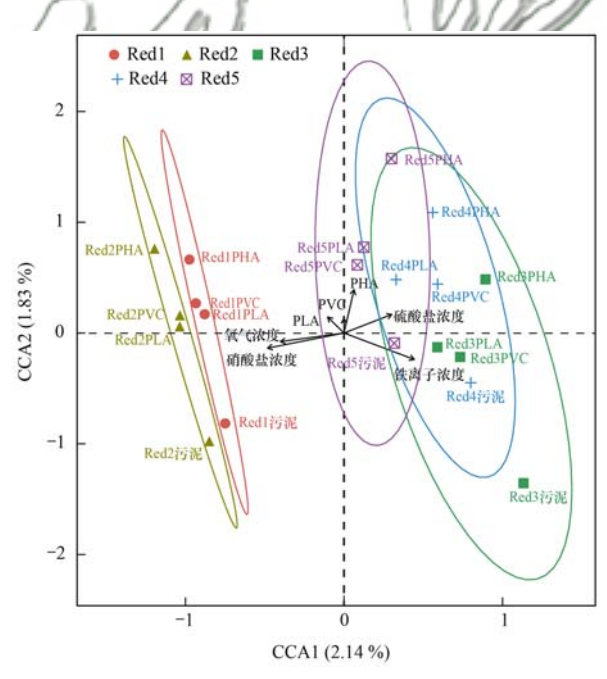


图 5 微生物群落的典范对应分析

Fig. 5 Canonical correspondence analysis of microbial communities

进一步的 VPA 分析结果表明(图 6),氧化还原环境因子和微塑料因子分别从不同维度影响了微生物群落,这与 CCA 分析结果一致;在微塑料表面的微生物群落构建过程中,氧化还原环境因子和微塑料因子总共可以解释 49.62% 的微生物群落变异,其中氧化还原环境因子可以解释 31.04%,而微塑料

因子只可以解释 18.94%, 故氧化还原环境因子对微生物群落构建的影响大于微塑料因子.

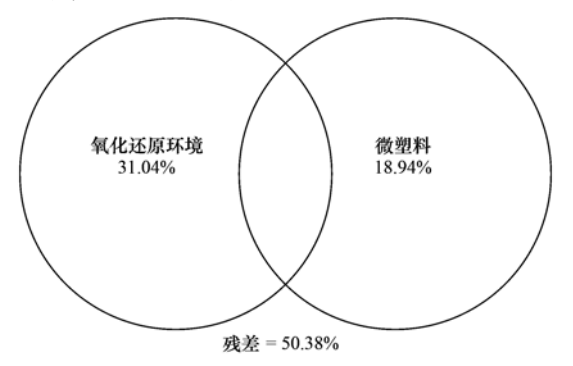


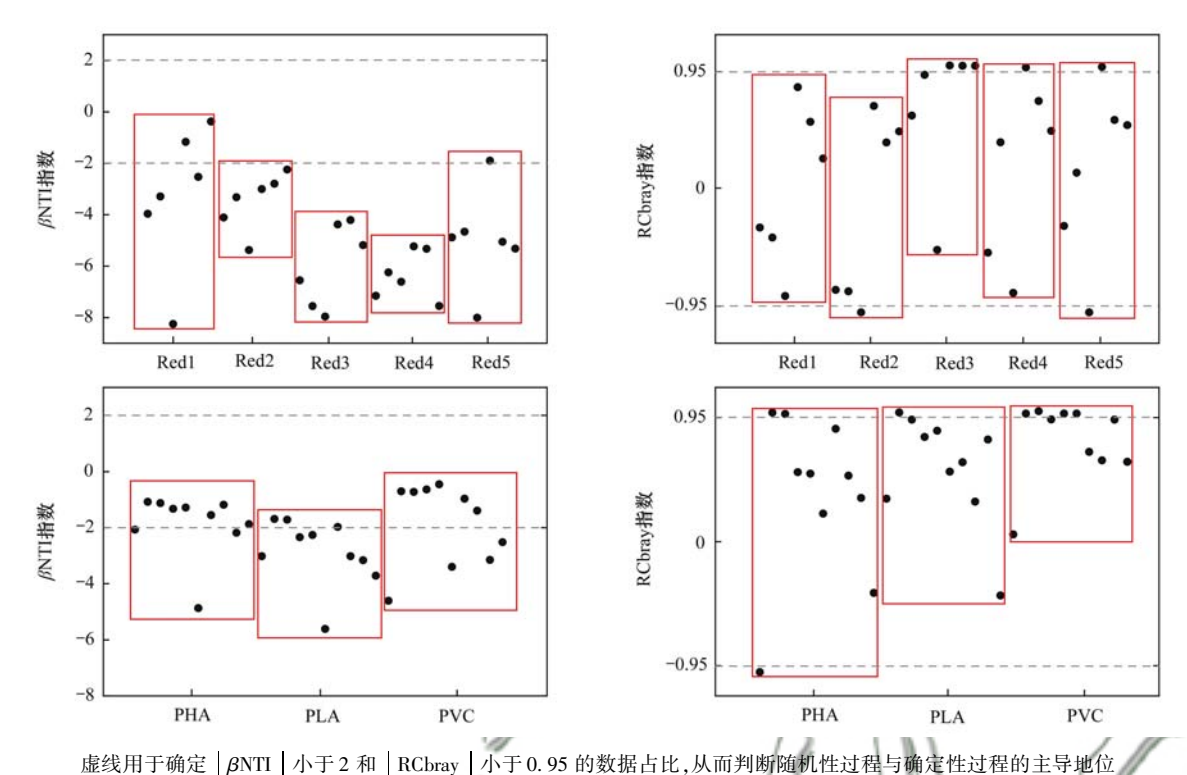
图 6 微生物群落在不同环境变量影响下的方差分解结果

Fig. 6 Variance decomposition results of microbial communities under the influence of different environmental variables

#### 2.2.2 系统发育学分析

βNTI 指数和 RCbray 指数在不同氧化还原环境 和不同微塑料上的分布如图 7 所示. 不同氧化还原 环境中 | βNTI | 大于 2 的数据占总数据的 90.00%,故不同氧化还原环境中微生物群落构建 主要受确定性过程的影响;而  $|\beta NTI|$  小于 2 的数 据全集中在-2以下,表明确定性过程以同质选择 为主,即不同氧化还原环境中会呈现出以喜好该 种氧化还原环境的微生物为主的群落特征[27].不 同微塑料上 | βNTI | 大于 2 的数据占总数据的 46.67%,故不同微塑料上的微生物群落构建主要 受随机性过程的影响; | RCbray | 出现了大于和小 于 0.95 的值, 其中小于 0.95 的数据占总数据的 73.33%,表明随机性过程以漂变和多样性等不受 控制的过程为主[39],微塑料种类对微生物群落构 建的影响较小,即由于污泥中不同的菌群会随机 漂移到不同微塑料的表面定殖,而在不同微塑料 表面又会随机变异出新的菌种,导致了不同微塑 料表面微生物群落出现差异.

综上,氧化还原环境因子和微塑料因子均会通过影响确定性过程和随机性过程的占比来影响微塑料表面的微生物群落构建过程.从分类学角度上来说,氧化还原环境因子可以影响微塑料表面31.04%的微生物群落,而微塑料因子只可以影响18.94%;从系统发育学角度上来说,氧化还原环境因子可以影响微塑料表面90.00%的微生物群落,而微塑料因子只可以影响46.67%.由此可以看出,在分类学和系统发育学上,氧化还原环境因子对微生物群落构建的影响均大于微塑料因子,即相比于微塑料种类,微塑料表面的微生物群落在构建过程中更容易受到所处环境的影响.



歷8月  $\beta$ NTI 指数和 RCbray 指数在不同氧化还原环境和不同微塑料上的分布

E DE LE COMMENTE LE LEGIT DE LE LIGHT DE LEGIT D

Fig. 7 Distribution of  $\beta$ NTI index and RCbray index in different redox environments and different microplastics

#### 3 结论

- (1)与污泥相比较,微塑料表面的微生物群落特征会根据微塑料的种类发生改变;其中更易降解的 PHA 微塑料表面的微生物群落丰富度和均匀度均最低, Anaerocolumna(26.44%)为优势菌种,难降解的 PLA 和 PVC 微塑料表面的微生物群落变化特征接近, Clostridium\_sensu\_stricto\_7(15.49%和11.87%)为优势菌种.
- (2)参与氧化还原反应的特征菌群更易在难降解的 PLA 和 PVC 微塑料(3.71% 和 3.11%)表面富集,在易降解的 PHA 微塑料和污泥(1.88% 和 0.84%)中较少富集,因此难降解塑料可能促进生物地球化学循环速率.
- (3)在微塑料表面的微生物群落构建过程中, 微塑料因子在分类学和系统发育学上分别影响了微 塑料表面 18.94% 和 46.67% 的微生物群落,氧化还 原环境因子在分类学和系统发育学上分别影响了微 塑料表面 31.04% 和 90.00% 的微生物群落.

#### 参考文献:

- [1] Rogers K L, Carreres-Calabuig J A, Gorokhova E, et al. Microby-micro interactions: how microorganisms influence the fate of marine microplastics [J]. Limnology and Oceanography Letters, 2020, 5(1): 18-36.
- [2] 李汶璐, 王志超, 杨文焕, 等. 微塑料对沉积物细菌群落组成和多样性的影响 [J]. 环境科学, 2022, **43**(5): 2606-2613.

- Li W L, Wang Z C, Yang W H, et al. Effects of microplastics on bacterial community composition and diversity in sediments [J]. Environmental Science, 2022, 43(5): 2606-2613.
- 3 ] Zettler E R, Mincer T J, Amaral-Zettler L A. Life in the "plastisphere": microbial communities on plastic marine debris [J]. Environmental Science & Technology, 2013, 47 (13): 7137-7146.
- [4] Thorstenson D C, Fisher D W, Croft M G. The geochemistry of the Fox hills-basal hell creek aquifer in southwestern north Dakota and northwestern South Dakota[J]. Water Resources Research, 1979, 15(6): 1479-1498.
- [5] Bergé A, Cladière M, Gasperi J, et al. Meta-analysis of environmental contamination by phthalates [J]. Environmental Science and Pollution Research, 2013, 20(11): 8057-8076.
- [6] Wright R J, Erni-Cassola G, Zadjelovic V, et al. Marine plastic debris; a new surface for microbial colonization [J]. Environmental Science & Technology, 2020, 54(19): 11657-11672.
- [7] Oberbeckmann S, Labrenz M. Marine microbial assemblages on microplastics: diversity, adaptation, and role in degradation[J]. Annual Review of Marine Science, 2020, 12: 209-232.
- [8] 周曙仡聃, 朱永官, 黄福义. 微塑料对海水抗生素抗性基因的影响 [J]. 环境科学, 2021, **42**(8): 3785-3790.

  Zhou S Y D, Zhu Y G, Huang F Y. Microplastic-induced alterations to antibiotic resistance genes in seawater [J]. Environmental Science, 2021, **42**(8): 3785-3790.
- [9] 周昕原, 王言仔, 苏建强, 等. 微塑料对河水抗生素抗性基因的影响 [J]. 环境科学, 2020, **41**(9): 4076-4080. Zhou X Y, Wang Y Z, Su J Q, *et al.* Microplastics-induced shifts of diversity and abundance of antibiotic resistance genes in river water [J]. Environmental Science, 2020, **41**(9): 4076-4080.
- [10] 黄福义,杨凯,张子兴,等. 微塑料对河口沉积物抗生素抗性基因的影响[J]. 环境科学,2019,40(5):2234-2239.

- Huang F Y, Yang K, Zhang Z X, et al. Effects of microplastics on antibiotic resistance genes in estuarine sediments [ J ]. Environmental Science, 2019, 40(5): 2234-2239.
- [11] Tagg A S, Oberbeckmann S, Fischer D, et al. Paint particles are a distinct and variable substrate for marine bacteria [J]. Marine Pollution Bulletin, 2019, 146: 117-124.
- [12] Stegen J C, Lin X J, Konopka A E, et al. Stochastic and deterministic assembly processes in subsurface microbial communities [J]. The ISME Journal, 2012, 6(9): 1653-1664.
- [13] 江晓亮. 典型湿地硝化、反硝化微生物的群落特征及构建机制 [D]. 武汉:中国科学院武汉植物园, 2021.

  Jiang X L. The geographic distribution patterns and assembly mechanisms of nitrifying-and denitrifying microbial communities in the typical wetland eecosystems [D]. Wuhan: Wuhan Botanical Garden, Chinese Academy of Sciences, 2021.
- [14] Dini-Andreote F, Stegen J C, Van Elsas J D, et al. Disentangling mechanisms that mediate the balance between stochastic and deterministic processes in microbial succession [J]. Proceedings of the National Academy of Sciences of the United States of America, 2015, 112(11): E1326-E1332.
- [15] Alimi O S, Budarz J F, Hernandez L M, et al. Microplastics and nanoplastics in aquatic environments: aggregation, deposition, and enhanced contaminant transport [J]. Environmental Science & Technology, 2018, 52(4): 1704-1724.
- [16] Su Y L, Zhang Z J, Wu D, et al. Occurrence of microplastics in landfill systems and their fate with landfill age [J]. Water Research, 2019, 164, doi: 10.1016/j.watres.2019.114968.
- [17] Bucknall D G. Plastics as a materials system in a circular economy[J]. Philosophical Transactions of the Royal Society A Mathematical, Physical and Engineering Sciences, 2020, 378 (2176), doi: 10.1098/rsta.2019.0268.
- [18] Ma J, Liu H, Zhang C, et al. Joint response of chemistry and functional microbial community to oxygenation of the reductive confined aquifer[J]. Science of the Total Environment, 2020, 720, doi: 10.1016/j. scitotenv. 2020. 137587.
- [19] Zhou J Z, Deng Y, Zhang P, et al. Stochasticity, succession, and environmental perturbations in a fluidic ecosystem [J]. Proceedings of the National Academy of Sciences of the United States of America, 2014, 111(9); E836-E845.
- [20] Ma J, Gong Z W, Wang Z P, et al. Elucidating degradation properties, microbial community, and mechanism of microplastics in sewage sludge under different terminal electron acceptors conditions[J]. Bioresource Technology, 2022, 346, doi: 10. 1016/j. biortech. 2021. 126624.
- [21] Lv P L, Shi L D, Dong Q Y, et al. How nitrate affects perchlorate reduction in a methane-based biofilm batch reactor [J]. Water Research, 2020, 171, doi: 10.1016/j. watres. 2019.115397.
- [22] Liu S, Liu H, Wang Z, et al. Benzene promotes microbial Fe (III) reduction and flavins secretion [J]. Geochimica et Cosmochimica Acta, 2019, 264: 92-104.
- [23] Flynn T M, Sanford R A, Ryu H, et al. Functional microbial diversity explains groundwater chemistry in a pristine aquifer[J]. BMC Microbiology, 2013, 13, doi: 10.1186/1471-2180-13-146.
- [24] Walters W A, Caporaso J G, Lauber C L, et al. PrimerProspector: de novo design and taxonomic analysis of barcoded polymerase chain reaction primers [J]. Bioinformatics, 2011, 27(8): 1159-1161.

- [25] Louca S, Parfrey L W, Doebeli M. Decoupling function and taxonomy in the global ocean microbiome [J]. Science, 2016, 353(6305): 1272-1277.
- [26] Li H K, Zhong Y M, Huang H, et al. Simultaneous nitrogen and phosphorus removal by interactions between phosphate accumulating organisms (PAOs) and denitrifying phosphate accumulating organisms (DPAOs) in a sequencing batch reactor [J]. Science of the Total Environment, 2020, 744, doi: 10.1016/j.scitotenv.2020.140852.
- [27] Zhou J Z, Ning D L. Stochastic community assembly: does it matter in microbial ecology? [J]. Microbiology and Molecular Biology Reviews, 2017, 81(4), doi: 10.1128/mmbr.00002-17
- [28] Stegen J C, Lin X J, Fredrickson J K, et al. Quantifying community assembly processes and identifying features that impose them [J]. The ISME Journal, 2013, 7 (11): 2069-2079.
- [29] Whittaker R H. Vegetation of the Siskiyou Mountains, Oregon and California [J]. Ecological Monographs, 1960, 30(3): 279-338.
- [30] Amaral-Zettler L A, Zettler E R, Mincer T J. Ecology of the plastisphere [J]. Nature Reviews Microbiology, 2020, 18 (3): 139-151.
- [31] Ma J, Liu H, Tong L, et al. Relationships between microbial communities and groundwater chemistry in two pristine confined groundwater aquifers in central China [J]. Hydrological Processes, 2019, 33(14): 1993-2005.
- [32] Sun Y Y, Li M, Li Y Y, et al. The effect of Clostridium butyricum on symptoms and fecal microbiota in diarrhea-dominant irritable bowel syndrome; a randomized, double-blind, placebocontrolled trial[J]. Scientific Reports, 2018, 8(1), doi: 10. 1038/s41598-018-21241-z.
- [33] Wüst P K, Horn M A, Drake H L. Clostridiaceae and Enterobacteriaceae as active fermenters in earthworm gut content [J]. The ISME Journal, 2011, 5(1): 92-106.
- [34] Kato S, Chino K, Kamimura N, et al. Methanogenic degradation of lignin-derived monoaromatic compounds by microbial enrichments from rice paddy field soil [J]. Scientific Reports, 2015, 5, doi: 10.1038/srep14295.
- [35] Özen A I, Ussery D W. Defining the *Pseudomonas* genus; where do we draw the line with *Azotobacter*? [J]. Microbial Ecology, 2012, 63(2): 239-248.
- [36] Flynn T M, Sanford R A, Santo Domingo J W, et al. The active bacterial community in a pristine confined aquifer [J]. Water Resources Research, 2012, 48 (9), doi: 10. 1029/2011wr011568.
- [37] Pathak V M, Navneet. Review on the current status of polymer degradation: a microbial approach [J]. Bioresources and Bioprocessing, 2017, 4(1), doi: 10.1186/s40643-017-0145-9.
- [38] Seeley M E, Song B, Passie R, et al. Microplastics affect sedimentary microbial communities and nitrogen cycling [J].

  Nature Communications, 2020, 11(1), doi: 10.1038/s41467-020-16235-3
- [39] 方源. 基于人工微生物群落研究随机性过程对群落演替与构建的影响 [D]. 合肥:合肥工业大学, 2020.
  Fang Y. Investigating the influence of stochastic process on community assembly using synthetic microbial consortia [D]. Hefei: Hefei University of Technology, 2020.

# **HUANJING KEXUE**

Environmental Science (monthly)

Vol. 43 No. 9 Sep. 15, 2022

### **CONTENTS**

Temporal and Spatial Variation Characteristics of Heavy Metal in Atmospheric Deposition in China from 2000 to 2018	
$ \begin{array}{cccccccccccccccccccccccccccccccccccc$	
$Characteristics \ of \ Carbonaceous \ Species \ in \ PM_{2.\ 5} \ in \ Chengdu \ Under \ the \ Background \ of \ Emission \ Reduction \ \cdots \cdots CHEN \ Lu-yao, \ YU \ Yang-chun, \ HUANG \ Xiao-juan, \ et \ al.$	
Characteristics and Health Risk Assessment of Trace Elements in Atmospheric PM <sub>1</sub> During Autumn and Winter in Qingdao LIU Zi-yang, ZHANG Yi-sheng, ZHANG Hou-yong, et al.	
$Pollution \ Characteristics \ and \ Source \ Analysis \ of \ Atmospheric \ PM_{2.5}\ -bound \ Polycyclic \ Aromatic \ Hydrocarbons \ in \ a \ Port \ Area \ \cdots \cdots \ WANG \ Peng-cheng, \ YANG \ Ling-xiao, \ BIE \ Shu-jun, \ et \ al.$	
Size Distribution and Source Appointment of Road Particles During Winter in Tianjin	
Characteristics and Impact Factors of Number Concentration of Primary Biological Aerosol Particles in Beijing LIANG Lin-lin, LIU Chang, LIU Xu-yan, et al.	
Characteristic Analysis and Source Apportionment of VOCs in Urban Areas of Beijing in Summer	(4484)
Characteristics and Source Apportionment of Volatile Organic Compounds (VOCs) in a Typical Industrial Area in Dongguan During Periods of Ozone and Non-ozone Pollution in Summer	
ZHOU Zhen, XIAO Lin-hai, FEI Lei-lei, et al.	(4497)
Temporal and Spatial Variation in Odor Pollution and Membrane Barrier Effect in Municipal Solid Waste Landfill	
Comparison of Health Risk from Sources of Perfluoroalkyl Substances in Taihu Lake for Different Years	
Pollution Characteristics and Source Apportionment of Typical and Emerging Per- and Polyfluoroalkylated Substances in Tuojiang River Basin	, ,
SONG Jiao-jiao, WANG Yi-mei, SUN Jing, et al.	(4522)
Speciation and Risk of Heavy Metals in Surface Sediments of Different Types of Water Bodies in Baiyangdian Lake	
Distribution Coefficient of QNs in Urban Typical Water and Its Main Environmental Influencing Factors	
	(4343)
Ecological Risk Assessment of Quinolones Antibiotics and the Correlation Analysis Between QNs and Physical-Chemical Parameters in Groundwater, Shijiazhuang City  CHEN Hui, JU Ze-jia, ZHAO Xin-yu, et al.	(4556)
Characteristics and Sources of DOM in Lake Sediments Under Different Inundation Environments	(4566)
Characteristics of Phytoplankton Community Structure and Their Relationships with Environmental Factors in Autumn in Qinhe River Basin of Jincheng Region	
GAO Meng-die, LI Yan-fen, LI Yan-li, et al.	(4576)
$\label{thm:configurations} Integrated \ Assessment \ of \ Runoff \ Quality \ from \ Green \ Roofs \ with \ Different \ Configurations \\ \cdots \\ \cdots \\ ZHANG \ Sun-xun, \ ZHANG \ Shou-hong, \ YAN \ Jing, \ \emph{et al.} \\$	
Degradation of Chloroquine Phosphate by UV-activated Persulfate	(4597)
Removal Performance of Suspended Solid (SS) and Organic Compounds in the Pre-treatment of Actual Pharmaceutical Wastewater by Microbubble Ozonation	
LIU Chun, CHEN Rui, ZHANG Jing, et al.	(4608)
Effects of Wastewater Discharge on Antibiotic Resistance Genes and Microbial Community in a Coastal Area	
Effects of Biochar and Straw Returning on Soil Fungal Community Structure Diversity in Cotton Field with Long-term Brackish Water Irrigation	(1010)
GUO Xiao-wen, CHEN Jing, LU Xiao-yu, et al.	(4625)
Effects of Organic Materials on Phosphorus Fractions and phoD-harboring Bacterial Community in Karst Soil	
Effects of Different Vegetation Types on Soil Microbial Functional Genes and Enzyme Activities in Reclaimed Coal Mine	
Effects of Biochar Application on Yellow Soil Nutrients and Enzyme Activities	
Changes in Soil Bacterial Community Diversity in Degraded Patches of Alpine Meadow in the Source Area of the Yellow River	
Effects of Simulated Nitrogen Deposition on Soil Microbial Carbon Metabolism in Calamagrostis angustifolia Wetland in Sanjiang Plain WENG Xiao-hong, SUI Xin, LI Meng-sha, et al.	
Spatial Distribution of Quinolone Antibiotics and Its Correlation Relationship with Microbial Community in Soil of Shijiazhuang City	(4684)
Composition Characteristics and Construction Mechanism of Microbial Community on Microplastic Surface in Typical Redox Environments	(4697)
Annual Nitrogen Removal Efficiency and Change in Abundance of Nitrogen Cycling Microorganisms in Swine Wastewater Treated by Crop Straw Materials	
LIU Ming-yu, XIA Meng-hua, JIANG Lei, et al.	(4706)
Effects of External Carbon Sources on Ultimate Nitrogen Removal Performance and Microbial Community in Secondary Effluent Treating Process	
WANG Wei, ZHAO Zhong-yuan, ZHANG Xin, et al.	(4717)
Microbial Community Structure of Activated Sludge for Total Nitrogen Upgrading Project	
Analysis of Microbial Interaction Law of Mud Membrane in IFAS Process for Treating Low Carbon Source Sewage in South China	
Abundances and Morphology Patterns of Microplastics Under Different Land Use Types on the Loess Plateau	
1 0, 1	
Evaluation of Heavy Metal Content, Sources, and Potential Ecological Risks in Soils of Southern Hilly Areas	
Risk Assessment and Attribution Analysis of "Five Toxic" Heavy Metals in Cultivated Land in Lanzhou ZHANG Li-rui, PENG Xin-bo, MA Yan-long, et al.	(4/6/)
Distribution Characteristics and Risk Assessment of Heavy Metal Pollution in Farmland Soils and Crops in Luancheng, Shijiazhuang City	
Distribution Characteristics and Risk Assessment of Antimony in Typical Urban Soil	(4791)
Contamination Assessment and Source Apportionment of Soil Heavy Metals in Typical Villages and Towns in a Nonferrous Metal Mining City	
WANG Feng, HUANG Yan-huan, LI Ru-zhong, et al.	(4800)
Effect of Citric Acid and Moving on Enhancing the Remediation of Cadmium Contaminated Soil by Napier Grass (Pennisetum purpureum Schum)	
TANG Qi, WU Gang-fan, GU Jiao-feng, et al.	(4810)
Arsenic Methylation Efficiency Changes During Paddy Soil Drying and its Key Influencing Factors Analysis	
Arsenic Methylation Efficiency Changes During Paddy Soil Drying and Its Key Influencing Factors Analysis	
Effects of Exogenous Jasmonic Acid on Arsenic Accumulation and Response to Stress in Roots of Rice Seedlings	
Effects of Exogenous Jasmonic Acid on Arsenic Accumulation and Response to Stress in Roots of Rice Seedlings	
Effects of Exogenous Jasmonic Acid on Arsenic Accumulation and Response to Stress in Roots of Rice Seedlings	(4839)
Effects of Exogenous Jasmonic Acid on Arsenic Accumulation and Response to Stress in Roots of Rice Seedlings	(4839)
Effects of Exogenous Jasmonic Acid on Arsenic Accumulation and Response to Stress in Roots of Rice Seedlings	(4839)
Effects of Exogenous Jasmonic Acid on Arsenic Accumulation and Response to Stress in Roots of Rice Seedlings	(4839) (4848) (4858)
Effects of Exogenous Jasmonic Acid on Arsenic Accumulation and Response to Stress in Roots of Rice Seedlings	(4839) (4848) (4858) (4867)
Effects of Exogenous Jasmonic Acid on Arsenic Accumulation and Response to Stress in Roots of Rice Seedlings	(4839) (4848) (4858) (4867)
Effects of Exogenous Jasmonic Acid on Arsenic Accumulation and Response to Stress in Roots of Rice Seedlings	(4839) (4848) (4858) (4867) (4878)
Effects of Exogenous Jasmonic Acid on Arsenic Accumulation and Response to Stress in Roots of Rice Seedlings	(4839) (4848) (4858) (4867) (4867) (4878) (4888)